

УДК 532.546

## НИЗКОЧАСТОТНОЕ ТОРМОЖЕНИЕ ФИЛЬТРАЦИОННОЙ ВОЛНЫ В СЛОИСТО-НЕОДНОРОДНЫХ ПРОНИЦАЕМЫХ ПЛАСТАХ

А. И. Филиппов, О. В. Ахметова, А. А. Ковальский

Стерлитамакский филиал Башкирского государственного университета,  
453103 Стерлитамак, Россия

E-mails: tfmo@sspa.bashtel.ru, ahoksana@yandex.ru, aakov68@mail.ru

Построены аналитические частотные зависимости коэффициента поглощения, волнового числа и фазовой скорости для фильтрационно-волновых полей в высокопроницаемом пропластке, ограниченном сверху и снизу пластами, имеющими высокую проницаемость в вертикальном направлении. Показано, что при уменьшении частоты фазовая скорость волны уменьшается до значений, меньших значений этой скорости в пористой среде, и имеет место низкочастотное торможение.

Ключевые слова: волновое уравнение, волновое поле давления, фильтрация, анизотропная среда, коэффициент поглощения, волновое число, фазовая скорость.

DOI: 10.15372/PMTF20180311

В работах [1–5] предложена модель фильтрационно-волнового процесса в виде плоской волны в центральном слое трехслойной проницаемой анизотропной пористой среды, отличающаяся от известных подходов к описанию фильтрации жидкостей в пористых средах. Выражения для поля давления, полученные из точного решения для ближней зоны, совпадают с выражениями, полученными с использованием “в среднем точного” асимптотического метода [6–8]. В настоящей работе найдены аналитические зависимости коэффициента поглощения, волнового числа и фазовой скорости от частоты и параметров среды.

**1. Постановка задачи.** Постановка задачи осуществлена в прямоугольной декартовой системе координат, ось  $z_d$  которой совпадает с осью скважины. Неоднородная среда представлена тремя областями с плоскими границами раздела  $z_d = \pm h$ , перпендикулярными вертикальной оси. Покрывающий и подстилающий пласты полагаются слабопроницаемыми в горизонтальном направлении, средняя область толщиной  $2h$  ( $-h < z_d < h$ ) является хорошо проницаемой и в горизонтальном, и в вертикальном направлениях. Течение полагается двумерным и не зависящим от  $y_d$ .

В сделанных предположениях математическая постановка задачи включает волновые уравнения для верхнего и нижнего пластов [4], учитывающие преобладание проницаемости в вертикальном направлении:

$$\frac{1}{c_1^2} \frac{\partial^2 P_{d1}}{\partial \tau^2} + \frac{1}{\chi_1} \frac{\partial P_{d1}}{\partial \tau} - \frac{\partial^2 P_{d1}}{\partial z_d^2} = 0, \quad \tau > 0, \quad z_d > h; \quad (1.1)$$

$$\frac{1}{c_2^2} \frac{\partial^2 P_{d2}}{\partial \tau^2} + \frac{1}{\chi_2} \frac{\partial P_{d2}}{\partial \tau} - \frac{\partial^2 P_{d2}}{\partial z_d^2} = 0, \quad \tau > 0, \quad z_d < -h, \quad (1.2)$$

а также волновое уравнение для центрального пласта

$$\frac{1}{c^2} \frac{\partial^2 P_d}{\partial \tau^2} + \frac{1}{\chi} \frac{\partial P_d}{\partial \tau} - \frac{\partial^2 P_d}{\partial z_d^2} - \frac{\partial^2 P_d}{\partial x_d^2} = 0, \quad \tau > 0, \quad -h < z_d < h, \quad x_d > 0, \quad (1.3)$$

где  $\chi_1 = k_1/(\mu\beta^*m_0)$ ,  $\chi_2 = k_2/(\mu\beta^*m_0)$ ,  $\chi = k/(\mu\beta^*m_0)$  — коэффициенты пьезопроводности;  $c$  — скорость упругих волн;  $\mu$  — вязкость;  $\beta^*$  — сжимаемость пористой среды;  $\tau$  — время;  $P_d$  — давление;  $m_0$  — пористость;  $k$  — проницаемость; нижний индекс  $d$  соответствует размерным величинам, индексы 1, 2 — номеру пласта.

В начальный момент времени возмущения отсутствуют и поле давления совпадает с гидростатическим:

$$P_{d1}|_{\tau=0} = -\rho g z_d + P_{11}, \quad P_{d2}|_{\tau=0} = -\rho g z_d + P_{11}, \quad P_d|_{\tau=0} = -\rho g z_d + P_{11}, \quad (1.4)$$

$$\frac{\partial P_{d1}}{\partial \tau}|_{\tau=0} = 0, \quad \frac{\partial P_{d2}}{\partial \tau}|_{\tau=0} = 0, \quad \frac{\partial P_d}{\partial \tau}|_{\tau=0} = 0$$

( $\rho$  — плотность насыщающего флюида;  $g$  — ускорение свободного падения). На границе раздела сред задаются равенства давлений и величины потоков:

$$P_{d1}|_{z_d=h} = P_d|_{z_d=h}, \quad P_{d2}|_{z_d=-h} = P_d|_{z_d=-h}, \quad (1.5)$$

$$k_1 \frac{\partial P_{d1}}{\partial z_d}|_{z_d=h} = k \frac{\partial P_d}{\partial z_d}|_{z_d=h}, \quad k_2 \frac{\partial P_{d2}}{\partial z_d}|_{z_d=-h} = k \frac{\partial P_d}{\partial z_d}|_{z_d=-h}.$$

Давление на левой границе изменяется по гармоническому закону

$$P_d|_{x_d=0} = P_{d0} \cos(\omega_d \tau) - \rho g z_d + P_{11} \quad (1.6)$$

( $\omega$  — циклическая частота). С использованием соотношений

$$\tilde{P}_j = \frac{P_{dj} - (-\rho g z + P_{11})}{P_{10}}, \quad x = \frac{x_d}{h}, \quad z = \frac{z_d}{h}, \quad t = \frac{\tau \chi}{h^2}, \quad \eta_j = \frac{\chi}{\chi_j}, \quad (1.7)$$

$$A = \frac{\chi^2}{h^2 c^2}, \quad \varkappa_j = \frac{k_j}{k}, \quad \omega = \frac{h^2 \omega_d}{\chi}, \quad \nu_j = \frac{c^2}{c_j^2},$$

где  $P_{10}$  — максимальный перепад давления;  $j$  — номер области, задача (1.1)–(1.6) приводится к безразмерному виду. Для комплексного давления  $\tilde{P}$  задача записывается следующим образом:

$$A \nu_1 \frac{\partial^2 \tilde{P}_1}{\partial t^2} + \eta_1 \frac{\partial \tilde{P}_1}{\partial t} - \frac{\partial^2 \tilde{P}_1}{\partial z^2} = 0, \quad t > 0, \quad z > 1; \quad (1.8)$$

$$A \nu_2 \frac{\partial^2 \tilde{P}_2}{\partial t^2} + \eta_2 \frac{\partial \tilde{P}_2}{\partial t} - \frac{\partial^2 \tilde{P}_2}{\partial z^2} = 0, \quad t > 0, \quad z < -1; \quad (1.9)$$

$$A \frac{\partial^2 \tilde{P}}{\partial t^2} + \frac{\partial \tilde{P}}{\partial t} - \frac{\partial^2 \tilde{P}}{\partial z^2} - \frac{\partial^2 \tilde{P}}{\partial x^2} = 0, \quad t > 0, \quad -1 < z < 1, \quad x > 0; \quad (1.10)$$

$$\tilde{P}_1|_{t=0} = 0, \quad \tilde{P}_2|_{t=0} = 0, \quad \tilde{P}|_{t=0} = 0, \quad \frac{\partial \tilde{P}_1}{\partial t}|_{t=0} = 0, \quad \frac{\partial \tilde{P}_2}{\partial t}|_{t=0} = 0, \quad \frac{\partial \tilde{P}}{\partial t}|_{t=0} = 0; \quad (1.11)$$

$$\begin{aligned} \tilde{P}_1|_{z=1} &= \tilde{P}|_{z=1}, & \tilde{P}_2|_{z=-1} &= \tilde{P}|_{z=-1}, \\ \varkappa_1 \frac{\partial \tilde{P}_1}{\partial z} \Big|_{z=1} &= \frac{\partial \tilde{P}}{\partial z} \Big|_{z=1}, & \varkappa_2 \frac{\partial \tilde{P}_2}{\partial z} \Big|_{z=-1} &= \frac{\partial \tilde{P}}{\partial z} \Big|_{z=-1}; \end{aligned} \quad (1.12)$$

$$\tilde{P}|_{x=0} = P_0 e^{i\omega t}. \quad (1.13)$$

Установившееся решение задачи (1.8)–(1.13) находим в виде

$$\tilde{P}_1 = P_1 e^{i\omega t}, \quad \tilde{P}_2 = P_2 e^{i\omega t}, \quad \tilde{P} = P e^{i\omega t}. \quad (1.14)$$

Задача для амплитуд давления  $P_1, P_2, P$  принимает вид

$$\varphi_1^2 P_1 - \frac{\partial^2 P_1}{\partial z^2} = 0, \quad z > 1, \quad \varphi_2^2 P_2 - \frac{\partial^2 P_2}{\partial z^2} = 0, \quad z < -1; \quad (1.15)$$

$$\varphi^2 P - \frac{\partial^2 P}{\partial z^2} - \frac{\partial^2 P}{\partial x^2} = 0, \quad -1 < z < 1, \quad x > 0; \quad (1.16)$$

$$P_1|_{z=1} = P|_{z=1}, \quad P_2|_{z=-1} = P|_{z=-1}, \quad (1.17)$$

$$\begin{aligned} \varkappa_1 \frac{\partial P_1}{\partial z} \Big|_{z=1} &= \frac{\partial P}{\partial z} \Big|_{z=1}, & \varkappa_2 \frac{\partial P_2}{\partial z} \Big|_{z=-1} &= \frac{\partial P}{\partial z} \Big|_{z=-1}; \\ P|_{x=0} &= P_0. \end{aligned} \quad (1.18)$$

В (1.15)–(1.18)  $\varphi_1 = \sqrt{i\omega\eta_1 - A\nu_1\omega^2}$ ,  $\varphi = \sqrt{i\omega - A\omega^2}$ ,  $\varphi_2 = \sqrt{i\omega\eta_2 - A\nu_2\omega^2}$ . Решение полагается регулярным на бесконечности, т. е. при стремлении пространственных координат к бесконечности искомое решение, а при необходимости и его производная обращаются в нуль.

**2. Точное решение задачи.** Для решения задачи используется интегральное синус-преобразование Фурье по переменной  $x$

$$f^u(s) = \int_0^\infty f(x) \sin(sx) dx.$$

В математической постановке задача (1.15)–(1.18) в пространстве изображений принимает вид

$$\varphi_1^2 P_1^u - \frac{\partial^2 P_1^u}{\partial z^2} = 0, \quad z > 1, \quad \varphi_2^2 P_2^u - \frac{\partial^2 P_2^u}{\partial z^2} = 0, \quad z < -1; \quad (2.1)$$

$$(\varphi^2 + s^2)P^u - \frac{\partial^2 P^u}{\partial z^2} = sP_0, \quad -1 < z < 1; \quad (2.2)$$

$$P_1^u|_{z=1} = P^u|_{z=1}, \quad P_2^u|_{z=-1} = P^u|_{z=-1}, \quad (2.3)$$

$$\varkappa_1 \frac{\partial P_1^u}{\partial z} \Big|_{z=1} = \frac{\partial P^u}{\partial z} \Big|_{z=1}, \quad \varkappa_2 \frac{\partial P_2^u}{\partial z} \Big|_{z=-1} = \frac{\partial P^u}{\partial z} \Big|_{z=-1}.$$

С учетом граничных условий (2.3) решения уравнений (2.1) представляются в следующем виде:

$$P_1^u = P^u e^{-\varphi_1(z-1)}, \quad P_2^u = P^u e^{\varphi_2(z+1)}. \quad (2.4)$$

С использованием выражений (2.4) найдем из внешних областей следы производных

$$\frac{\partial P_1^u}{\partial z} \Big|_{z=1} = -\varphi_1 P^u, \quad \frac{\partial P_2^u}{\partial z} \Big|_{z=-1} = \varphi_2 P^u. \quad (2.5)$$

Общее решение уравнения (2.2) записывается следующим образом:

$$P^u = sP_0\varepsilon/\kappa^2 + C_1 \operatorname{sh}(\kappa z) + C_2 \operatorname{ch}(\kappa z) \quad (2.6)$$

( $\kappa = \sqrt{\varphi^2 + s^2}$ ;  $\varepsilon$  — параметр асимптотического разложения). Подставляя (2.5), (2.6) в условия для производных (2.3), получаем уравнения для определения постоянных

$$\begin{aligned} C_1[\kappa \operatorname{ch}(\kappa) + \varphi_1 \kappa_1 \operatorname{sh}(\kappa)] + C_2[\kappa \operatorname{sh}(\kappa) + \varphi_1 \kappa_1 \operatorname{ch}(\kappa)] &= -\varphi_1 \kappa_1 sP_0/\kappa^2, \\ C_1[\kappa \operatorname{ch}(\kappa) + \varphi_2 \kappa_2 \operatorname{sh}(\kappa)] - C_2[\kappa \operatorname{sh}(\kappa) + \varphi_2 \kappa_2 \operatorname{ch}(\kappa)] &= \varphi_2 \kappa_2 sP_0/\kappa^2. \end{aligned} \quad (2.7)$$

Решение системы уравнений (2.7) принимает вид

$$\begin{aligned} C_1 &= \frac{sP_0}{\kappa^2} \frac{(\varphi_2 \kappa_2 - \varphi_1 \kappa_1) \kappa \operatorname{sh}(\kappa) + [(\varphi_2 \kappa_2)^2 - (\varphi_1 \kappa_1)^2] \operatorname{ch}(\kappa)}{(\kappa^2 + \varphi_1 \kappa_1 \varphi_2 \kappa_2) \operatorname{sh}(2\kappa) + (\varphi_1 \kappa_1 + \varphi_2 \kappa_2) \kappa \operatorname{ch}(2\kappa)}, \\ C_2 &= -\frac{sP_0}{\kappa^2} \frac{(\varphi_1 \kappa_1 + \varphi_2 \kappa_2) \kappa \operatorname{ch}(\kappa) + 2\varphi_2 \kappa_2 \varphi_1 \kappa_1 \operatorname{sh}(\kappa)}{(\kappa^2 + \varphi_1 \kappa_1 \varphi_2 \kappa_2) \operatorname{sh}(2\kappa) + (\varphi_1 \kappa_1 + \varphi_2 \kappa_2) \kappa \operatorname{ch}(2\kappa)}. \end{aligned}$$

Искомое выражение для комплексной амплитуды поля давления в центральной области имеет вид

$$\begin{aligned} P^u &= \frac{sP_0}{\kappa^2} \left[ 1 - \frac{2\varphi_2 \kappa_2 \varphi_1 \kappa_1 \operatorname{sh}(\kappa) \operatorname{ch}(\kappa z)}{(\kappa^2 + \varphi_1 \kappa_1 \varphi_2 \kappa_2) \operatorname{sh}(2\kappa) + (\varphi_1 \kappa_1 + \varphi_2 \kappa_2) \kappa \operatorname{ch}(2\kappa)} - \right. \\ &\quad - \frac{\varphi_2 \kappa_2 \kappa \operatorname{ch}(\kappa(z+1)) + \varphi_1 \kappa_1 \kappa \operatorname{ch}(\kappa(z-1))}{(\kappa^2 + \varphi_1 \kappa_1 \varphi_2 \kappa_2) \operatorname{sh}(2\kappa) + (\varphi_1 \kappa_1 + \varphi_2 \kappa_2) \kappa \operatorname{ch}(2\kappa)} - \\ &\quad \left. - \frac{[(\varphi_2 \kappa_2)^2 - (\varphi_1 \kappa_1)^2] \operatorname{ch}(\kappa) \operatorname{sh}(\kappa z)}{(\kappa^2 + \varphi_1 \kappa_1 \varphi_2 \kappa_2) \operatorname{sh}(2\kappa) + (\varphi_1 \kappa_1 + \varphi_2 \kappa_2) \kappa \operatorname{ch}(2\kappa)} \right]. \quad (2.8) \end{aligned}$$

Выражения (2.4), (2.8) представляют собой искомое решение задачи в пространстве изображений. Комплексные значения амплитуд поля давления находятся с помощью обратного синус-преобразования Фурье полученных решений. Например, для центрального слоя оно принимает вид

$$\begin{aligned} P &= \frac{2P_0}{\pi \kappa^2} \int_0^\infty \left[ 1 - \frac{\varphi_2 \kappa_2 \kappa \operatorname{ch}(\kappa(z+1)) + \varphi_1 \kappa_1 \kappa \operatorname{ch}(\kappa(z-1))}{(\kappa^2 + \varphi_1 \kappa_1 \varphi_2 \kappa_2) \operatorname{sh}(2\kappa) + (\varphi_1 \kappa_1 + \varphi_2 \kappa_2) \kappa \operatorname{ch}(2\kappa)} - \right. \\ &\quad - \frac{[(\varphi_2 \kappa_2)^2 - (\varphi_1 \kappa_1)^2] \operatorname{ch}(\kappa) \operatorname{sh}(\kappa z)}{(\kappa^2 + \varphi_1 \kappa_1 \varphi_2 \kappa_2) \operatorname{sh}(2\kappa) + (\varphi_1 \kappa_1 + \varphi_2 \kappa_2) \kappa \operatorname{ch}(2\kappa)} - \\ &\quad \left. - \frac{2\varphi_2 \kappa_2 \varphi_1 \kappa_1 \operatorname{sh}(\kappa) \operatorname{ch}(\kappa z)}{(\kappa^2 + \varphi_1 \kappa_1 \varphi_2 \kappa_2) \operatorname{sh}(2\kappa) + (\varphi_1 \kappa_1 + \varphi_2 \kappa_2) \kappa \operatorname{ch}(2\kappa)} \right] s \sin(sx) ds. \quad (2.9) \end{aligned}$$

Аналогичный вид имеют решения для окружающих сред.

**3. Волновое поле в ближней зоне.** Решение (2.9) с учетом (1.14) позволяет определить фазовую скорость волны в любой точке центрального пласта. Рассмотрим волновое поле в ближней к источнику колебаний зоне, а также осредненное по толщине центрального слоя поле давления.

Анализ полученного решения показывает, что первое слагаемое в (2.8) представляет собой решение для изолированной среды, остальные слагаемые описывают вклад среды, окружающей центральный слой. В ближней зоне этот вклад мал.

Согласно теореме о соответствиях для синус-преобразования Фурье из (2.8), (2.4) получаем асимптотическое выражение для комплексной амплитуды в пространстве изображений в ближней зоне в нулевом приближении:

$$P^{(0)u} = \frac{sP_0}{\varphi^2 + s^2 + \varkappa_1\varphi_1/2 + \varkappa_2\varphi_2/2}, \quad P_1^{(0)u} = \frac{sP_0 e^{-\varphi_1(z-1)}}{\varphi^2 + s^2 + \varkappa_1\varphi_1/2 + \varkappa_2\varphi_2/2},$$

$$P_2^{(0)u} = \frac{sP_0 e^{\varphi_2(z+1)}}{\varphi^2 + s^2 + \varkappa_1\varphi_1/2 + \varkappa_2\varphi_2/2}$$

(верхние индексы в скобках соответствуют номеру асимптотического разложения). Используя обратное преобразование Фурье [9] и соотношение

$$\frac{s}{a^2 + s^2} \Rightarrow e^{-ax},$$

получаем следующие выражения для нулевого приближения:

$$P^{(0)} = P_0 e^{-\sqrt{\varphi^2 + \varkappa_1\varphi_1/2 + \varkappa_2\varphi_2/2}x}, \quad (3.1)$$

$$P_1^{(0)} = P_0 e^{-\sqrt{\varphi^2 + \varkappa_1\varphi_1/2 + \varkappa_2\varphi_2/2}x} e^{-\varphi_1(z-1)}, \quad (3.2)$$

$$P_2^{(0)} = P_0 e^{-\sqrt{\varphi^2 + \varkappa_1\varphi_1/2 + \varkappa_2\varphi_2/2}x} e^{\varphi_2(z+1)}. \quad (3.3)$$

Для получения дисперсионных соотношений выражение (3.1) записывается в виде

$$P^{(0)} = P_0 \exp(-(\alpha + i\beta)x).$$

Коэффициент поглощения  $\alpha$  определяется из выражения

$$\alpha = \sqrt{\frac{(\varkappa_1\sigma_1 + \varkappa_2\sigma_2 - 2A\omega^2) + \sqrt{(\varkappa_1\sigma_1 + \varkappa_2\sigma_2 - 2A\omega^2)^2 + (\varkappa_1\delta_1 + \varkappa_2\delta_2 + 2\omega)^2}}{4}}, \quad (3.4)$$

где

$$\delta_1 = \sqrt{(\omega\sqrt{A^2\nu_1^2\omega^2 + \eta_1^2} - A\nu_1\omega^2)/2}, \quad \sigma_1 = \sqrt{(\omega\sqrt{A^2\nu_1^2\omega^2 + \eta_1^2} + A\nu_1\omega^2)/2},$$

$$\delta_2 = \sqrt{(\omega\sqrt{A^2\nu_2^2\omega^2 + \eta_2^2} - A\nu_2\omega^2)/2}, \quad \sigma_2 = \sqrt{(\omega\sqrt{A^2\nu_2^2\omega^2 + \eta_2^2} + A\nu_2\omega^2)/2},$$

волновое число  $\beta$  — из выражения

$$\beta = \sqrt{\frac{\sqrt{(\varkappa_1\sigma_1 + \varkappa_2\sigma_2 - 2A\omega^2)^2 + (\varkappa_1\delta_1 + \varkappa_2\delta_2 + 2\omega)^2} - (\varkappa_1\sigma_1 + \varkappa_2\sigma_2 - 2A\omega^2)}{4}}. \quad (3.5)$$

Выражение для фазовой скорости волны  $v = \omega/\beta$  запишем в виде

$$v = \frac{\omega}{\sqrt{\left[\sqrt{(\varkappa_1\sigma_1 + \varkappa_2\sigma_2 - 2A\omega^2)^2 + (\varkappa_1\delta_1 + \varkappa_2\delta_2 + 2\omega)^2} - (\varkappa_1\sigma_1 + \varkappa_2\sigma_2 - 2A\omega^2)\right]/4}}. \quad (3.6)$$

Подставляя в выражения (3.4)–(3.6) соотношения (1.7), нетрудно показать, что в размерных координатах коэффициент поглощения, волновое число и фазовая скорость не зависят от толщины центрального слоя, а являются функциями частоты и параметров среды. В случае однородной среды соотношения (3.4)–(3.6) имеют вид соответственно [10]

$$\alpha_h = \sqrt{(\omega\sqrt{A^2\omega^2 + 1} - A\omega^2)/2}, \quad \beta_h = \frac{\omega}{2\alpha_h} = \sqrt{\omega(\sqrt{A^2\omega^2 + 1} + A\omega)/2},$$

$$v_h = \frac{\omega}{\beta_h} = 2\alpha_h = \sqrt{2\omega(\sqrt{A^2\omega^2 + 1} - A\omega)}.$$

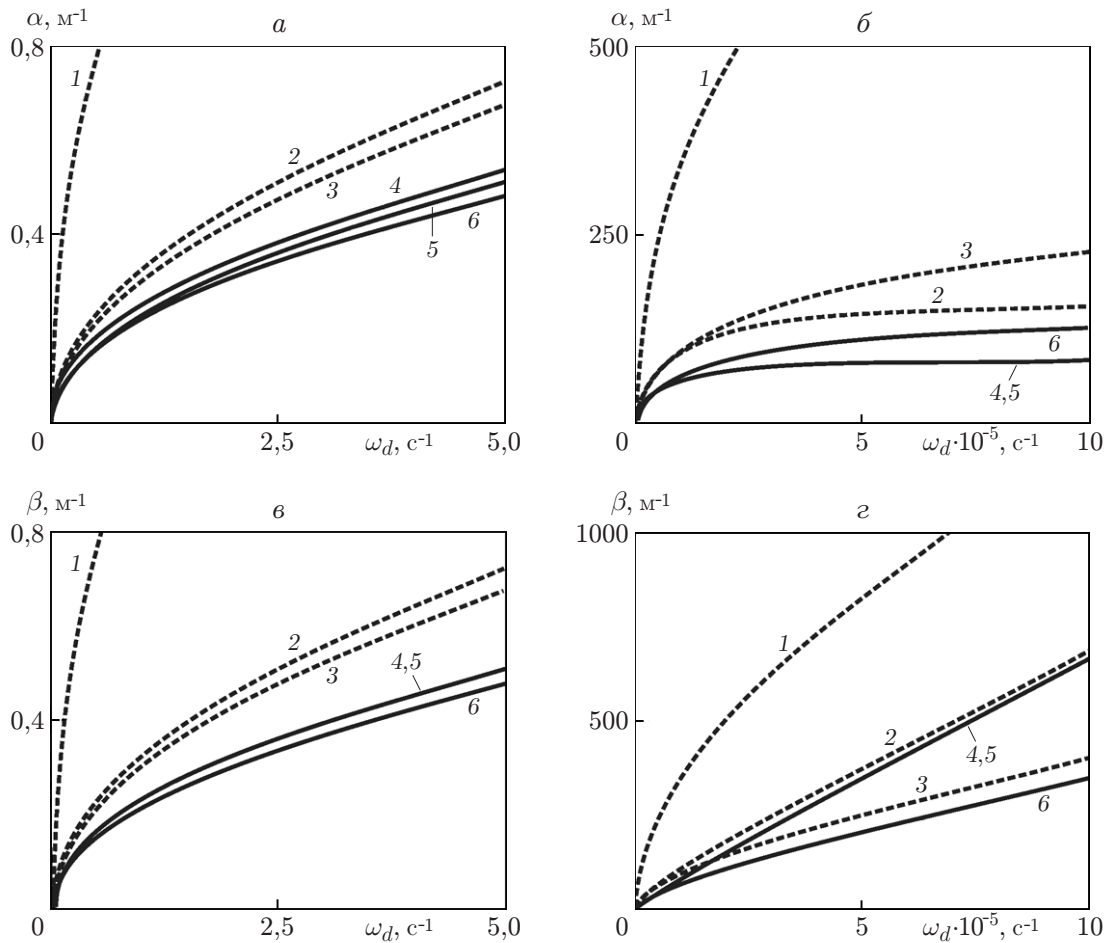


Рис. 1. Зависимости коэффициента поглощения (*a*, *б*) и волнового числа (*в*, *г*) фильтрационных волн от частоты для различных сред: *a* — малые частоты, *б* — большие частоты; 1–3 — однородная среда (1 — глинистый песчаник ( $\chi = 0,42 \text{ м}^2/\text{с}$ ,  $c = 1200 \text{ м/с}$ ), 2 — нефтенасыщенный песчаник ( $\chi = 4,8 \text{ м}^2/\text{с}$ ,  $c = 1500 \text{ м/с}$ ), 3 — водонасыщенный песчаник ( $\chi = 5,5 \text{ м}^2/\text{с}$ ,  $c = 3000 \text{ м/с}$ ); 4–6 — слоисто-неоднородная среда (4 — среда I, 5 — среда II, 6 — среда III)

Умножая решение задачи в нулевом приближении на  $e^{i\omega t}$ , действительную часть решения (3.1)–(3.3) запишем в виде

$$P^{(0)} = P_0 e^{-\alpha x} \cos(\omega t - \beta x); \quad (3.7)$$

$$P_1^{(0)} = P_0 e^{-\alpha x - \delta_1(z-1)} \cos(\omega t - \beta x - \sigma_1(z-1)); \quad (3.8)$$

$$P_2^{(0)} = P_0 e^{-\alpha x + \delta_2(z+1)} \cos(\omega t - \beta x + \sigma_2(z+1)), \quad (3.9)$$

где  $\sigma_1$ ,  $\sigma_2$ ,  $\delta_1$ ,  $\delta_2$  — вспомогательные функции.

Из (3.7)–(3.9) следует, что волновой процесс в нулевом приближении (или “в среднем”) в центральном пласте можно представить в виде плоской затухающей волны, распространяющейся вдоль оси  $x$ . Эта волна возбуждает на линии  $z = 1$  бегущую по  $z$  затухающую в окружающих породах волну со сдвигом фазы  $-\beta x$ , соответствующим приходу в точку  $x$  возбуждающей волны.

**4. Анализ результатов расчетов.** При расчетах частотных зависимостей параметров фильтрационно-волновых полей в слоисто-неоднородных проницаемых пластах рас-

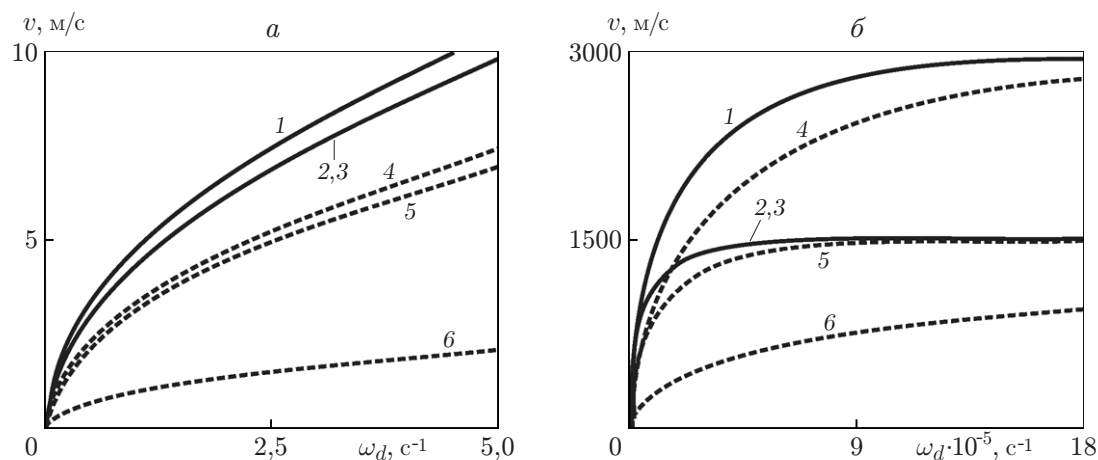


Рис. 2. Зависимости фазовой скорости фильтрационных волн от частоты для различных сред:

$a$  — малые частоты,  $b$  — большие частоты; 1–3 — слоисто-неоднородная среда (1 — среда I, 2 — среда II, 3 — среда III), 4–6 — однородная среда (4 — глинистый песчаник, 5 — нефтенасыщенный песчаник, 6 — водонасыщенный песчаник)

сматривались слоистые проницаемые среды в следующих комбинациях: I — водонасыщенный песчаник (настиляющий слой), нефтенасыщенный песчаник (центральный слой), глинистый песчаник (подстиляющий слой); II — нефтенасыщенный песчаник (центральный слой), глинистый песчаник (настиляющий и подстиляющий слой); III — водонасыщенный песчаник (центральный слой), глинистый песчаник (настиляющий и подстиляющий слой).

На рис. 1 представлены зависимости коэффициента поглощения и волнового числа фильтрационных волн от частоты в различных средах. Видно, что в слоисто-неоднородной среде коэффициент поглощения меньше во всем диапазоне частот. Из рис. 1 также следует, что высокочастотные гармоники фильтрационных волн быстро затухают.

На рис. 2 представлены зависимости фазовой скорости от частоты для различных сред. На рис. 2,  $a$  видно, что при малых значениях частоты фазовая скорость фильтрационных волн меньше скорости упругих волн более чем на порядок. При увеличении частоты фазовая скорость возрастает и при высоких частотах приближается к скорости распространения упругих акустических волн (см. рис. 2,  $b$ ).

Приведенные частотные зависимости коэффициента поглощения и фазовой скорости позволяют прогнозировать уменьшение скорости волнового пакета типа ударной волны в пористой среде (низкочастотное торможение). Действительно, высокочастотные гармоники сигнала быстро затухают (см. рис. 1). При этом относительно медленно затухающие низкочастотные гармоники перемещаются на значительные расстояния от источника. Однако согласно рис. 2 они имеют малую скорость. Поэтому экспериментальная регистрация волновых полей в пористой среде позволяет обнаружить anomalous уменьшение скорости фильтрационных волн при малых частотах, обусловленное уменьшением эффективной упругости среды вследствие относительного смещения жидкой или газовой фазы. Низкочастотное торможение имеет место также в однородной среде [10].

Таким образом, развитая теория фильтрационно-волновых полей давления позволяет уточнить представления о распространении возмущений в пористой среде и подтверждает, что в области малых частот скорость существенно уменьшается по сравнению со скоростью распространения упругих волн.

## ЛИТЕРАТУРА

1. Мазо А. Б., Калинин Е. И., Булыгин Д. В. Моделирование двухфазной фильтрации в окрестности тектонического разлома нефтяного пласта // Георесурсы. 2013. № 3. С. 14–16.
2. Гурьянов А. И., Ахмеров А. В., Али Ниджрс А. Р. и др. Моделирование упругого режима двумерной плоско-радиальной фильтрации при обработке призабойной зоны скважины с помощью мобильной пульсационной установки // Вестн. Казан. гос. энерг. ун-та. 2015. № 4. С. 44–51.
3. Бахтий Н. С., Кутрунов В. Н. Приток жидкости к несовершенной скважине из радиального пласта // Вестн. Тюм. гос. ун-та. 2010. № 6. С. 134–139.
4. Ахметова О. В., Михайлов П. Н., Филиппов И. М. Новый метод исследования полей давления в неоднородном ортотропном пористом пласте // Вестн. Башкир. гос. ун-та. 2013. Т. 18, № 2. С. 363–366.
5. Ентов В. М., Чехонин Е. М. Поле давления вокруг скважины в слоисто-неоднородном пласте // Изв. РАН. Механика жидкости и газа. 2007. № 1. С. 83–90.
6. Филиппов А. И., Ахметова О. В. Представление фильтрационно-волновых полей в слоистой анизотропной среде в виде плоской волны. Ч. 1 // Вестн. Тюм. гос. ун-та. Физ.-мат. моделирование. Нефть, газ, энергетика. 2015. Т. 1, № 1. С. 65–76.
7. Филиппов А. И., Ахметова О. В. Представление фильтрационно-волновых полей в слоистой анизотропной среде в виде плоской волны. Ч. 2 // Вестн. Тюм. гос. ун-та. Физ.-мат. моделирование. Нефть, газ, энергетика. 2015. Т. 1, № 2. С. 92–103.
8. Филиппов А. И., Ахметова О. В., Заманова Г. Ф., Ковальский А. А. Спектральные соотношения для фильтрационно-волновых полей в неоднородных проницаемых пористых пластах // Нефтегазовое дело: Электрон. науч. журн. 2014. № 2. С. 1–13.
9. Бейтмен Г. Таблицы интегральных преобразований. Т. 2. Преобразования Бесселя. Интегралы от специальных функций / Г. Бейтмен, А. Эрдейи. М.: Наука, 1970.
10. Филиппов А. И., Ахметова О. В. Одномерные монохроматические плоские фильтрационные волны // Инж.-физ. журн. 2015. Т. 88, № 2. С. 285–290.

*Поступила в редакцию 9/XI 2015 г.,  
в окончательном варианте — 21/VII 2017 г.*

---